arXiv:0805.4687v1 [math.PR] 30 May 2008

LES DEUX QUADRANGULATIONS INFINIES UNIFORMES ONT MÊME LOI

Laurent Ménard*
Département de Mathématiques
Université Paris-Sud
91405 Orsay Cedex, France

May 2008

Résumé

On démontre que les quadrangulations aléatoires infinies uniformes définies respectivement par Chassaing-Durhuus et par Krikun ont la même loi.

Abstract

We prove that the uniform infinite random quadrangulations defined respectively by Chassaing-Durhuus and Krikun have the same distribution.

Classification AMS : 60C05, 60J80, 05C30.

1 Introduction

Les cartes planaires ont été étudiées dans un premier temps par Tutte [19] dans une optique purement combinatoire. Ces objets sont maintenant utilisés en physique théorique comme modèles de géométrie aléatoire dans la théorie de la gravité quantique en deux dimensions (voir en particulier le livre [1]). Un outil puissant pour l'étude de ces objets vient du codage des cartes planaires par certaines classes d'arbres, introduit dans un premier temps par [9], puis développé dans la thèse de Schaeffer [18] (voir aussi Bouttier, Di Francesco, Guitter [6] pour une généralisation de ce codage). Cette correspondance entre les cartes planaires et les arbres permet de décrire les propriétés de limites d'échelle de grandes cartes aléatoires grâce à celles des arbres continus aléatoires (voir le travail de Chassaing et Schaeffer [8]), et de définir une carte brownienne (voir Marckert et Mokkadem [16]), carte aléatoire continue supposée être la limite d'échelle de nombreuses classes de cartes aléatoires (voir les travaux de Marckert et Miermont [15], Le Gall [13], Le Gall et Paulin [14]). Cette approche donne de nouvelles propriétés asymptotiques des grandes cartes planaires.

Un autre point de vue consiste en l'étude de cartes planaires infinies, plus particulièrement en l'étude de mesures de probabilité, uniformes en un certain sens, sur des ensembles de cartes infinies. Ceci a été fait par Angel et Schramm [4], qui introduisent une triangulation infinie uniforme du plan, dont les propriétés sont étudiées par Angel [2, 3] et par Krikun [10].

Chassaing et Durhuus construisent dans [7] un arbre aléatoire bien étiqueté infini de loi uniforme comme la limite locale d'arbres finis de loi uniforme parmi les arbres ayant une taille donnée. Ils étendent ensuite la bijection de Schaeffer aux arbres et quadrangulations infinis pour pouvoir définir

*laurent.menard@normalesup.org

à partir de cet arbre infini une quadrangulation infinie aléatoire. La loi de cette quadrangulation infinie est uniforme dans le sens où elle est la limite des probabilités uniformes sur les quadrangulations ayant une taille donnée, pour la topologie image de la topologie naturelle sur les arbres bien étiquetés par la bijection de Schaeffer. Cette topologie sur les quadrangulations ne correspond cependant pas à la topologie de la convergence locale, plus naturelle pour des objets combinatoires comme les quadrangulations.

Krikun [11] construit sans passer par les arbres une quadrangulation infinie aléatoire comme la limite faible locale de quadrangulations aléatoires de loi uniforme parmi les quadrangulations d'une taille donnée. Cette carte infinie aléatoire est donc aussi en un sens naturel une quadrangulation infinie de loi uniforme. Cependant la construction de Krikun est a priori différente de celle de Chassaing et Durhuus.

Notre résultat principal, le théorème 4, montre que les deux définitions données respectivement par Chassaing-Durhuus et par Krikun sont équivalentes. Cela justifie le nom de quadrangulation infinie uniforme pour la carte aléatoire infinie obtenue par l'une ou l'autre des définitions. Ce résultat est démontré dans la partie 4 ci-dessous. La partie 2 donne quelques préliminaires, concernant en particulier la bijection de Schaeffer étendue entre arbres et quadrangulations infinis. La partie 3 rapelle les deux définitions de la quadrangulation infinie uniforme.

2 Préliminaires

2.1 Arbres bien étiquetés

Pour décrire les arbres planaires nous utilisons le formalisme de Neveu introduit dans [17]. Soit

$$\mathcal{U} = \bigcup_{n=0}^{\infty} \mathbb{N}^n$$

où $\mathbb{N} = \{1, 2, \ldots\}$ et $\mathbb{N}^0 = \{\emptyset\}$. La *génération* de $u = (u_1, \ldots, u_n) \in \mathbb{N}^n$ est $|u| = n$. Si $u = (u_1, \ldots, u_m)$ et $v = (v_1, \ldots, v_n)$ sont deux éléments de $\mathcal{U}$, $uv = (u_1, \ldots, u_m, v_1, \ldots, v_n)$ est la concaténation de u et v (en particulier $\emptyset u = u\emptyset = u$). Si v est de la forme uj avec $u \in \mathcal{U}$ et $j \in \mathbb{N}$, on dit que u est le *père* de v et aussi que v est un *enfant* de u. De manière plus générale, si v est de la forme uw pour u, $w \in \mathcal{U}$, on dit que u est un *ancêtre* de v et aussi que v est un *descendant* de u.

Un *arbre planaire enraciné* (ou plus simplement par la suite un arbre) τ est un sous ensemble de $\mathcal{U}$ tel que :

1. $\emptyset \in \tau$ (on dit que $\emptyset$ est la *racine* de τ) ;
2. si $v \in \tau$ et $v \neq \emptyset$, le père de v appartient à τ ;
3. pour tout $u \in \tau$ il existe un entier $k_u(\tau) \geqslant 0$ tel que $uj \in \tau$ si et seulement si $1 \leqslant j \leqslant k_u(\tau)$.

Les arêtes de τ sont les couples (u, v) où $u, v \in \tau$ et u est le père de v. $|\tau|$ désigne le nombre d'arêtes de τ et est appelé taille de τ ; $h(\tau)$ désigne la génération maximale des sommets de τ et est appelé hauteur de τ. On note $\mathbf{T}_n$ l'ensemble des arbres planaires enracinés de taille n, $\mathbf{T}_\infty$ l'ensemble des arbres infinis. $\mathbf{T} = \bigcup_{n=0}^{\infty} \mathbf{T}_n$ est l'ensemble des arbres planaires enracinés finis ; $\overline{\mathbf{T}} = \mathbf{T} \cup \mathbf{T}_\infty$ est l'ensemble des arbres planaires enracinés, finis ou infinis.

Un *arbre planaire enraciné étiqueté* (ou arbre spatial, ou plus simplement arbre étiqueté) est une paire $\omega = (\tau, (\ell(u))_{u \in \tau})$ constituée d'un arbre planaire enraciné τ et d'une collection d'étiquettes attachées aux sommets de τ telles que $\ell(u) \in \mathbb{Z}$ pour tout $u \in \tau$ et $|\ell(u) - \ell(v)| \leqslant 1$ si (u, v) est une arête de τ. Par convention, $|\omega| = |\tau|$ est la taille de ω. Pour $l \in \mathbb{Z}$ on note $\mathbf{T}_n^{(l)}$ l'ensemble des arbres

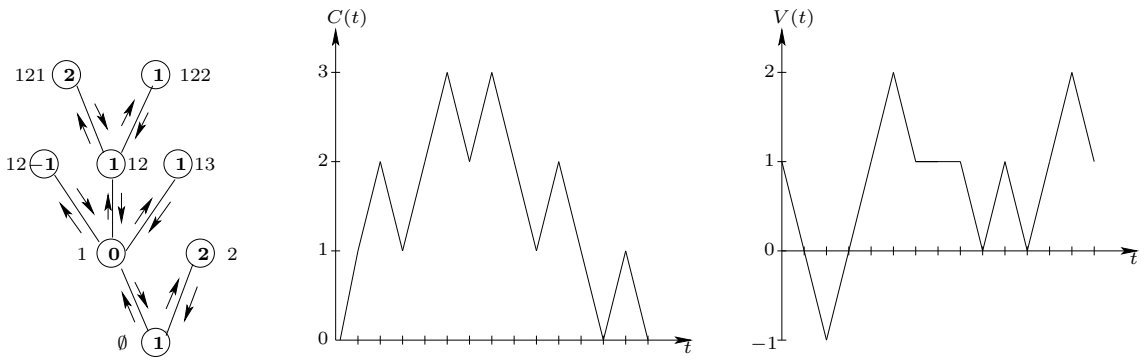

FIG. 1 – Un arbre étiqueté et ses fonctions de contour (C, V).

planaires enracinés et étiquetés à n arêtes tels que $\ell(\emptyset) = l$ ainsi que $\mathbf{T}^{(l)}$, $\mathbf{T}_\infty^{(l)}$ et $\overline{\mathbf{T}}^{(l)}$ les ensembles de tels arbres respectivement finis, infinis et de taille quelconque.

Si de plus on a $\ell(u) \geqslant l$ pour tout sommet u de τ, on dit que ω est *l-bien étiqueté*. Les ensembles d'arbres l-bien étiquetés correspondants seront notés $\mathbb{T}_n^{(l)}$, $\mathbb{T}^{(l)}$, $\mathbb{T}_\infty^{(l)}$ et $\overline{\mathbb{T}}^{(l)}$. Pour $l = 1$ on parle d'*arbres bien étiquetés* et on notera les ensembles d'arbres bien étiquetés plus simplement $\mathbb{T}_n$, $\mathbb{T}$, $\mathbb{T}_\infty$ et $\overline{\mathbb{T}}$.

Un arbre planaire enraciné étiqueté $\omega = (\tau, \ell)$ peut être codé par une paire de fonctions (C, V), où $C = (C(t), 0 \leqslant t \leqslant 2|\omega|)$ est la fonction de *contour* de τ et $V = (V(t), 0 \leqslant t \leqslant 2|\omega|)$ est la fonction de *contour spatial* de ω. Pour définir la fonction de contour de τ considérons une particule qui, partant de la racine, parcourt l'arbre le long de ses arêtes. Lorsqu'elle quitte un sommet, la particule se déplace vers le premier enfant non déjà visité de ce sommet si c'est possible, et retourne vers la racine dans le cas contraire. On convient que chaque arête a pour longueur 1 et que la particule se déplace à vitesse unité. La particule met alors un temps égal à $2|\tau|$ pour parcourir l'arbre en entier (chaque arête est parcourue deux fois). Pour tout $t \in [0, 2|\tau|]$, $C(t)$ est la distance de la particule à la racine. La définition de la fonction de contour devrait être claire sur la figure 1. Définissons maintenant la fonction de contour spatial. Si $t \in [0, 2|\tau|]$ est un entier, la particule est à l'instant t sur un sommet v et on pose $V(t) = \ell(v)$, puis on complète la définition de V par une interpolation linéaire entre deux entiers successifs (voir la figure 1) Un arbre étiqueté ω est clairement déterminé de façon unique par ses fonctions de contour.

Nous aurons besoin des définitions suivantes empruntées à [8] :

Définition 1. Une *colonne* d'un arbre bien étiqueté infini ω est une suite infinie $(s_n)_{n\geqslant 0}$ de sommets qui commence au sommet racine et telle que pour tout $n > 0$, s_n est un fils de s_{n-1}. De manière équivalente, une colonne de ω est un sous-arbre linéaire infini de ω ayant le même sommet racine que ω.

On note $\mathcal{S}$ le sous ensemble de $\mathbb{T}_\infty$ constitué des arbres ayant une unique colonne.

Pour tout $l \in \mathbb{N}$, on note N_l la fonction qui à un arbre bien étiqueté ω associe le nombre de sommets de ω ayant pour étiquette l. On définit alors le sous-ensemble de $\mathcal{S}$ suivant :

Définition 2. On pose

$$\mathcal{C} = \{\omega \in \mathcal{S} : \forall l \geqslant 1,\ N_l(\omega) < \infty\} \cup \mathbb{T},$$

c'est l'ensemble des arbres bien étiquetés, finis ou infinis, ayant une unique colonne dans le cas où il sont infinis, et dont toutes les étiquettes n'apparaissent qu'un nombre fini de fois.

Introduisons finalement les notations suivantes, qui nous seront utiles par la suite ; si $\omega = (\tau, \ell)$ est un arbre étiqueté, $|\omega| = |\tau|$ et $h(\omega) = h(\tau)$ désignent la taille et la hauteur de ω, et, pour tout entier $S \geqslant 0$, $g_S(\omega)$ est l'ensemble des sommets de génération S de ω.

2.2 Quadrangulations

Une *carte planaire* est le plongement propre dans la sphère orientée $\mathbb{S}^2$ d'un graphe planaire connexe et fini. Ce plongement est considéré à homéomorphisme de la sphère conservant l'orientation près. Les composantes connexes du complémentaire du graphe sont appelées faces de la carte. Une carte planaire est dite *enracinée* si une arête orientée, appellée *racine*, est spécifiée. Si de plus toutes les faces de la carte ont quatre arêtes adjacentes (une arête totalement inscrite dans une face est comptée deux fois), la carte est une *quadrangulation* (enracinée).

On note $\mathbf{Q}_n$ l'ensemble des quadrangulations enracinées à n faces et $\mathbf{Q} = \bigcup_{n=0}^{\infty} \mathbf{Q}_n$ l'ensemble des quadrangulations finies. Chaque ensemble $\mathbf{Q}_n$ est en correspondance bijective avec l'ensemble $\mathbb{T}_n$ grâce à la bijection de Schaeffer [9, 18]. Nous allons voir par la suite comment étendre cette correspondance pour transformer un arbre de $\mathcal{C}$ en une quadrangulation enracinée infinie de $\mathbb{S}^2$. Cependant aucune bijection n'est établie entre les arbres bien étiquetés infinis et les quadrangulations enracinées infinies.

Avant de voir comment associer une quadrangulation à un arbre de $\mathcal{C}$, nous devons définir plus précisément la notion de quadrangulation enracinée infinie. Cette définition nous conduira à introduire quelques propriétés de régularité. Nous reprenons dans ce but les définitions faites dans [4, 7].

Définition 3. Une *carte planaire infinie* $\mathcal{M}$ est le plongement dans la sphère $\mathbb{S}^2$ d'un graphe infini G, connexe et de sommets de degrés finis, tel que les arêtes sont représentées par des portions de courbes régulières qui ne s'intersectent entre elles que sur les sommets qu'elles ont en commun.

Avec cette définition, l'arbre linéaire infini plongé dans $\mathbb{S}^2$ de sorte qu'il occupe un cercle entier est une carte planaire. Nous ne souhaitons pas accepter ce plongement comme valide car il donne une carte planaire à deux «faces» là où nous en voulons une seule. Ceci motive la définition suivante :

Définition 4. Une carte planaire infinie *acceptable* $\mathcal{M}$ est une carte planaire infinie vérifiant la propriété de régularité suivante :

Si $(p_i)_{i\in\mathbb{N}}$ est une suite de points de $\mathcal{M}$ considérée comme l'union de ses arêtes dans $\mathbb{S}^2$, et telle que pour $i \neq j$, p_i et p_j sont sur deux arêtes différentes, alors la suite n'a aucun point d'accumulation dans $\mathcal{M}$.

Cette propriété de régularité va nous permettre de définir ce que sont les faces d'une carte planaire infinie acceptable. Soit en effet C une courbe fermée et continue d'une carte planaire acceptable $\mathcal{M}$, composée d'une suite d'arêtes. La propriété de régularité assure que le nombre d'arêtes qui constituent C est fini, ainsi le complémentaire de C dans $\mathbb{S}^2$ se décompose en un nombre fini de composantes connexes. Si une de ces composantes connexes contient un nombre fini de sommets de $\mathcal{M}$, alors la partie de $\mathcal{M}$ à l'intérieur de cette composante est une carte planaire finie. Les faces de cette carte planaire finie sont appelées faces de $\mathcal{M}$. Par définition, les faces de $\mathcal{M}$ sont toutes obtenues de cette manière. Elles sont en particulier toutes bornées par une boucle polygonale composée d'un nombre fini de sommets.

Avec cette définition, toutes les arêtes d'une carte planaire infinie acceptable ne sont pas nécessairement adjacentes à une face. C'est le cas par exemple des arbres infinis, qui ont une seule « face » de degré infini (laquelle n'est pas une face au sens de la définition précédente). Nous aurons donc aussi besoin de la définition suivante :

Définition 5. Une carte planaire infinie *régulière* est une carte planaire infinie acceptable telle que toute arête de la carte est partagée par exactement deux faces, ou bien apparaît deux fois dans la frontière d'une face.

Comme dans le cas des cartes planaires finies, deux cartes planaires infinies régulières sont identifiées si l'on passe de l'une à l'autre par un homéomorphisme préservant l'orientation.

Remarque. Avec les définitions que nous avons données, un arbre infini peut se plonger dans $\mathbb{S}^2$ en une carte planaire infinie acceptable mais pas en une carte planaire infinie régulière.

Définition 6. Une *quadrangulation infinie* est une carte planaire infinie régulière dont toutes les faces sont délimitées par des polygones à quatre cotés. Une quadrangulation enracinée est une quadrangulation munie d'une arête orientée (i_0, i_1) distinguée, appelée racine de la quadrangulation ; i_0 étant appelé sommet racine. On note $\overline{\mathbb{Q}}$ l'ensemble des quadrangulations enracinées finies ou infinies, avec la décomposition évidente $\overline{\mathbb{Q}} = \mathbf{Q} \cup \mathbf{Q}_\infty$

2.3 Bijection de Schaeffer étendue

Nous allons maintenant présenter la bijection de Schaeffer étendue aux arbres infinis de l'ensemble $\mathcal{C}$. Nous renvoyons à [7] (section 6) pour plus de détails et pour la preuve des résultats qui suivent.

Pour construire l'image $\Phi(\omega)$ d'un arbre infini $\omega \in \mathcal{C}$, nous avons besoin de propriétés de régularité et surtout de l'unicité de son plongement dans $\mathbb{S}^2$. Un arbre infini peut en effet être plongé dans la sphère de plusieurs manières non homéomorphes. Cependant, il n'existe à homéomorphisme près qu'une seule façon de plonger un arbre de $\mathcal{C}$ de manière à obtenir une carte planaire acceptable pour laquelle il existe $c \in \mathbb{S}^2$ tel que, quelle que soit la suite de points $(p_i)_{i\in\mathbb{N}}$ vérifiant les conditions de la définition 4 et ayant effectivement un point d'accumulation dans $\mathbb{S}^2$, ce point est c.

Soit donc $\omega \in \mathcal{C}$, et fixons un plongement de ω dans $\mathbb{S}^2$ comme carte planaire acceptable. Soit c le seul point d'accumulation possible des suites de la définition 4. On note F_0 le complémentaire de ω dans $\mathbb{S}^2$.

Définition 7. Un *coin* de F_0 est le secteur défini autour d'un sommet de ω par deux arêtes consécutives. L'étiquette d'un coin est l'étiquette du sommet qui lui correspond.

Il est facile de voir qu'un sommet de degré d définit d coins, et que ω a un nombre fini $C_l(\omega) \geqslant N_l(\omega)$ de coins d'étiquette l. Nous allons construire $\Phi(\omega)$ en trois étapes.

Étape 1 (voir figure 2)**.** On ajoute un sommet v_0 d'étiquette 0 dans $F_0 \setminus \{c\}$ que l'on relie à chacun des $C_1(\omega)$ coins d'étiquette 1. La racine de la carte planaire acceptable $\mathcal{M}_0$ obtenue est l'arête joignant v_0 au coin précédant la racine de ω.

Remarque. Il est possible de relier v_0 aux coins d'étiquette 1 car ω a exactement une colonne.

Après cette 1re étape, une carte planaire acceptable enracinée $\mathcal{M}_0$ possédant $C_1(\omega) - 1$ faces est obtenue (au sens des définitions données précédemment, en particulier les faces sont finies). Remarquons que chacune des faces de $\mathcal{M}_0$ possède un unique coin d'étiquette 0 et deux coins d'étiquette 1 qui sont du même côté de la colonne de ω. Ces faces sont délimitées chacune par les deux arêtes joignant v_0 aux deux coins d'étiquette 1 ainsi que, dans le cas où ces coins d'étiquette 1 appartiennent à deux sommets distincts, les arêtes figurant sur l'unique chemin injectif joignant ces deux sommets d'étiquette 1 dans l'arbre.

Il est naturel de considérer le complémentaire de $\mathcal{M}_0$ et de ses faces comme une face supplémentaire de degré infini. On apellera cette face F_∞. Elle possède un unique coin d'étiquette 0 et deux coins d'étiquette 1, qui sont de part et d'autre de la colonne de ω. Ces deux coins sont de plus les derniers coins d'étiquette 1 visités lors d'un contour des côtés gauche et droit de ω. F_∞ est donc délimitée par les deux arêtes joignant v_0 à ces coins d'étiquette 1 et les arêtes figurant sur l'unique chemin injectif joignant les deux sommets correspondants dans l'arbre. La colonne de ω est, à l'exception d'un nombre fini d'arêtes, à l'intérieur de cette face.

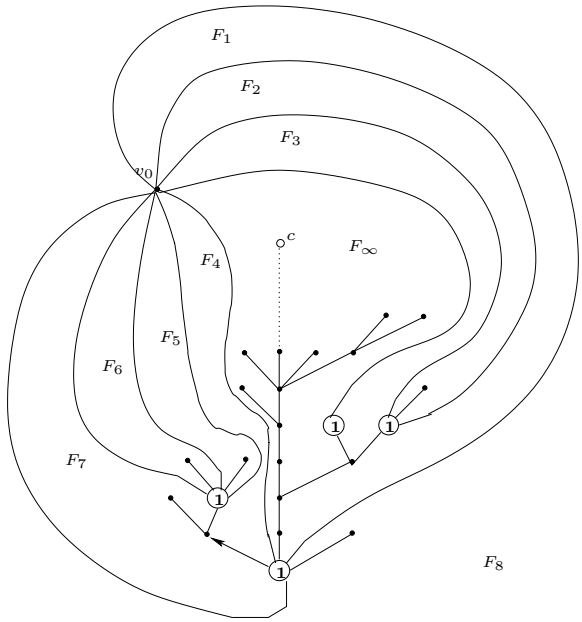

FIG. 2 – Étape 1 : on relie v_0 aux coins d'étiquette 1.

La deuxième étape de la construction se déroule de manière indépendante dans chacune des faces de $\mathcal{M}_0$, F_∞ comprise. Soit F une face de $\mathcal{M}_0$ et c_0 son coin d'étiquette 0. Si F contient un nombre fini de sommets, donc un nombre fini de coins, on numérote ses coins de 0 à $k-1$ en parcourant la face dans le sens des aiguilles d'une montre, et en commençant par c_0. Si F est la face infinie, les coins à droite de la colonne sont numérotés par les entiers positifs en parcourant la frontière dans le sens des aiguilles d'une montre et en commençant par c_0 de numéro 0. Les coins à gauche de la colonne sont numérotés par les entiers négatifs en parcourant la frontière dans le sens inverse des aiguilles d'une montre et en commençant par c_0 de numéro 0 (voir figure 3). On note aussi $\ell(i)$ l'étiquette du coin numéroté i, de telle sorte que $\ell(0) = 0$ et $\ell(1) = \ell(k-1) = 1$ dans le cas fini ; $\ell(1) = \ell(-1) = 1$ dans le cas infini (la fonction ℓ dépend évidemment de la face considérée).

Pour chaque face, finie ou infinie, on définit maintenant une fonction successeur s pour tous les coins excepté les coins d'étiquettes 0 ou 1 par :

$$s(i) = \begin{cases} \min\{j > i : \ell(j) = \ell(i) - 1\} & \text{si } i < 0, \\ \min\{j > i : \ell(j) = \ell(i) - 1\} & \text{si } i > 0 \text{ et } \{j > i : \ell(j) = \ell(i) - 1\} \neq \emptyset, \\ \min\{j \leqslant 0 : \ell(j) = \ell(i) - 1\} & \text{si } i > 0 \text{ et } \{j > i : \ell(j) = \ell(i) - 1\} = \emptyset. \end{cases}$$

Dans le cas où la face est finie, seul le deuxième cas se produit. Dans le cas de la face infinie, la dernière propriété de la définition 2 est utilisée pour dire que $\{j \leqslant 0 : \ell(j) = \ell(i) - 1\}$ est fini.

Étape 2. Dans chaque face, pour chaque coin i d'étiquette $\ell(i) \geqslant 2$, si $|s(i) - i| \neq 1$, on ajoute une corde $(i, s(i))$ à l'intérieur de la face.

Proposition 1 ([7], Property 6.1)**.** *L'étape 2 peut se faire de manière à ce que les différentes cordes $(i, s(i))$ ne se croisent pas.*

Remarque. La condition $|s(i) - i| \neq 1$ revient à dire que la corde $(i, s(i))$ n'existe pas déjà dans ω. Dans le cas de F_∞, il peut arriver qu'une corde $(i, s(i))$ relie deux sommets qui sont de part et d'autre de la colonne (voir la figure 3, cela se produit dans le troisième cas de la définition de $s(i)$, ce qui correspond

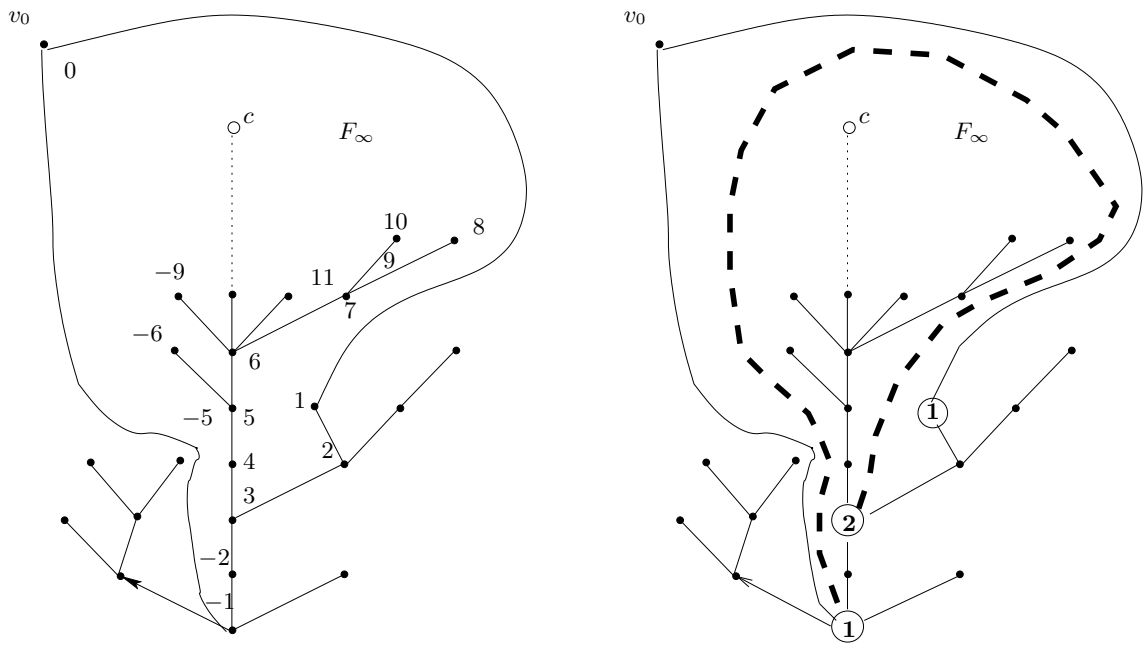

FIG. 3 – Étape 2 : numérotation de quelques coins dans F_∞ et construction d'une corde entre les deux côtés de la colonne.

au cas où, dans le contour du côté droit de la colonne, le coin i apparaît après la dernière occurrence de l'étiquette $\ell(i) - 1$).

Cette 2e étape définit une carte planaire régulière $\mathcal{M}_1$ unique à homéomorphisme conservant l'orientation près, et dont les faces sont décrites dans la proposition suivante :

Proposition 2 ([7], Property 6.2)**.** *Les faces de $\mathcal{M}_1$ sont soit triangulaires et de sommets d'étiquettes l, $l+1$, $l+1$; soit quadrangulaires et de sommets d'étiquettes l, $l+1$, $l+2$, $l+1$.*

Étape 3. On supprime toutes les arêtes de $\mathcal{M}_1$ reliant deux sommets de même étiquette.

Alors (voir [7] pour les détails), on obtient une quadrangulation infinie régulière, notée $\Phi(\omega)$. De plus les étiquettes des sommets de ω sont les distances à la racine des sommets correspondants dans $\Phi(\omega)$. Enfin, l'application Φ ainsi obtenue est une bijection de $\mathcal{C}$ sur $\Phi(\mathcal{C})$.

3 Quadrangulations infinies uniformes

Nous allons voir dans cette section deux manières possibles de définir une quadrangulation infinie aléatoire de loi uniforme, qui donnent a priori deux objets différents.

3.1 Définition directe

Cette méthode, introduite dans [11], consiste à définir la quadrangulation infinie uniforme comme la loi limite de quadrangulations aléatoires finies. Pour cela nous devons dans un premier temps munir $\mathbf{Q}$, l'ensemble des quadrangulations enracinées finies, d'une topologie. Si $q \in \mathbf{Q}$, on note $B_{\mathbf{Q},R}(q)$ l'union

des faces de q dont au moins un des sommets est à distance strictement inférieure à R de la racine ($B_{\mathbf{Q},R}(q)$ est donc une carte planaire enracinée finie). On munit $\mathbf{Q}$ de la distance :

$$d_{\mathbf{Q}}(q_1, q_2) = (1 + \sup\{R : B_{\mathbf{Q},R}(q_1) = B_{\mathbf{Q},R}(q_2)\})^{-1},$$

l'égalité étant au sens de l'égalité entre deux cartes planaires enracinées finies.

Soit $(\overline{\mathbf{Q}}, d_{\overline{\mathbf{Q}}})$ le complété de $(\mathbf{Q}, d_{\mathbf{Q}})$. Les éléments de $\overline{\mathbf{Q}}$ autres que les quadrangulations finies sont appelés quadrangulations enracinées infinies au sens de Krikun. Cette définition n'est pas équivalente à celle donnée dans la définition 6.

Théorème 1 ([11], Theorem 1)**.** *Pour tout $n \geqslant 1$ soit ν_n la mesure de probabilité uniforme sur $\mathbf{Q}_n$. La suite $(\nu_n)_{n\in\mathbb{N}}$ converge faiblement dans l'espace $(\overline{\mathbf{Q}}, d_{\overline{\mathbf{Q}}})$ vers une mesure de probabilité notée ν. De plus, ν est portée par l'ensemble des quadrangulations enracinées infinies (au sens de Krikun).*

Remarque. On peut prolonger la fonction $q \in \mathbf{Q} \mapsto B_{\mathbf{Q},R}(q)$ en une fonction continue $B_{\overline{\mathbf{Q}},R}$ sur $\overline{\mathbf{Q}}$. $B_{\overline{\mathbf{Q}},R}(q)$ s'interprète de manière naturelle comme l'union des faces de q dont au moins un des sommets est à distance strictement inférieure à R de la racine.

3.2 Définition indirecte

Une autre approche possible pour définir la quadrangulation infinie uniforme est de définir dans un premier temps l'arbre bien étiqueté infini uniforme et de considérer la mesure image de sa loi par la bijection de Schaeffer. C'est l'approche choisie dans l'article [7] auquel nous renvoyons pour plus de détails et les preuves des résultats qui vont suivre. On munit l'ensemble $\overline{\mathbb{T}}$ des arbres bien étiquetés (finis ou infinis) de la distance suivante :

$$d_{\overline{\mathbb{T}}}(\omega, \omega') = \left(1 + \sup\left\{S : B_{\overline{\mathbb{T}},S}(\omega) = B_{\overline{\mathbb{T}},S}(\omega')\right\}\right)^{-1},$$

où $B_{\overline{\mathbb{T}},S}(\omega)$ est le sous arbre de ω jusqu'à la génération S. L'espace métrique $\left(\overline{\mathbb{T}}, d_{\overline{\mathbb{T}}}\right)$ est complet.

On a alors le résultat suivant :

Théorème 2 ([7], Theorem 3.1)**.** *La suite $(\mu_n)_{n\in\mathbb{N}}$ des probabilités uniformes sur les arbres bien étiquetés à n arêtes converge faiblement vers une probabilité μ à support dans $\mathbb{T}_\infty$. On appelle cette loi limite la loi de l'arbre bien étiqueté infini uniforme.*

Une des étapes clé de la preuve de ce résultat est la preuve de la convergence

$$\mu_n\left(\omega \in \overline{\mathbb{T}} : B_{\overline{\mathbb{T}},S}(\omega) = \omega^\star\right) \underset{n\to\infty}{\longrightarrow} \mu\left(\omega \in \overline{\mathbb{T}} : B_{\overline{\mathbb{T}},S}(\omega) = \omega^\star\right)$$

pour $S > 0$ et $\omega^\star$ un arbre bien étiqueté fini de hauteur S. Ceci est fait au moyen de calculs explicites : pour tout $\omega^\star$ bien étiqueté de hauteur S ayant exactement k sommets de génération S d'étiquettes respectives $l_1, \ldots, l_k$:

$$\mu_n\left(\omega \in \overline{\mathbb{T}} : B_{\overline{\mathbb{T}},S}(\omega) = \omega^\star\right) = \frac{1}{D_n} \sum_{n_1+\cdots+n_k=n-|\omega^\star|} \prod_{j=1}^{k} D_{n_j}^{(l_j)}, \tag{1}$$

$$\mu\left(\omega \in \overline{\mathbb{T}} : B_{\overline{\mathbb{T}},S}(\omega) = \omega^\star\right) = \frac{1}{12^{|\omega^\star|}} \sum_{i=1}^{k} d_{l_i} \prod_{j\neq i} w_{l_j}, \tag{2}$$

où $D_n^{(l)}$ est le cardinal de $\mathbb{T}_n^{(l)}$ pour tout $l \geqslant 1$, $D_n^{(1)} = D_n$ et

$$w_l = 2\frac{l(l+3)}{(l+1)(l+2)}, \tag{3}$$

$$d_l = \frac{2w_l}{560}(4l^4 + 30l^3 + 59l^2 + 42l + 4), \tag{4}$$

pout tout $l \geqslant 1$.

Proposition 3 ([7], Theorem 5.9). *μ est à support dans $\mathcal{S}$, l'ensemble des arbres bien étiquetés infinis ayant une unique colonne. De plus μ a la propriété suivante :*

$$\mathbb{E}_\mu\left[N_l(\omega)\right] = O(l^3) \quad \textit{quand } l \to \infty.$$

Ainsi, la loi de l'arbre bien étiqueté infini uniforme est à support dans $\mathcal{C}$, l'ensemble des arbres bien étiquetés infinis ayant une seule colonne et dont toutes les étiquettes n'apparaissent qu'un nombre fini de fois.

Un arbre de loi μ a donc p.s. une unique colonne. [7] donne une description précise du processus des étiquettes des sommets de cette colonne et des sous-arbres attachés à chacun de ces sommets. Cette description fait intervenir la mesure $\rho^{(l)}$ définie sur $\mathbf{T}^{(l)}$ par $\rho^{(l)}(\omega) = 12^{-|\omega|}$ pour tout $\omega \in \mathbf{T}^{(l)}$. On vérifie facilement que $\frac{1}{2}\rho^{(l)}$ est la loi de l'arbre de Galton-Watson de loi de reproduction géométrique de paramètre $\frac{1}{2}$, muni d'étiquettes aléatoires selon les règles suivantes : la racine a pour étiquette l et chaque sommet autre que la racine a une étiquette choisie uniformément dans $\{m-1, m, m+1\}$ où m est l'étiquette de son père, ces choix étant faits indépendamment pour tous les sommets. La proposition 2.4 de [7] montre que $\rho^{(l)}(\mathbb{T}^{(l)}) = w_l$. Cela permet d'introduire la mesure de probabilité $\hat{\rho}^{(l)}$ sur $\mathbb{T}^{(l)}$ définie par $\hat{\rho}^{(l)}(\omega) = w_l^{-1}\rho^{(l)}(\omega) = w_l^{-1}12^{-|\omega|}$ pour tout $\omega \in \mathbb{T}^{(l)}$. On a le théorème suivant :

Théorème 3 ([7], Theorem 4.4). *Soit ω un arbre bien étiqueté de loi μ, et soit $u_0, u_1, u_2, \ldots$ la suite des sommets de la colonne de ω, énumérés dans l'ordre généalogique. Pour tout $n \geqslant 0$, soit Y_n l'étiquette de u_n.*

1. *Le processus $(Y_n)_{n\geqslant 0}$ est une chaîne de Markov à valeurs dans $\mathbb{N}$ de noyau de transition Π défini par :*

$$\begin{aligned}
\Pi(l, l-1) = q_l &= \frac{(w_l)^2}{12 d_l} d_{l-1} && \textit{si } l \geqslant 2,\\
\Pi(l, l) = r_l &= \frac{(w_l)^2}{12} && \textit{si } l \geqslant 1,\\
\Pi(l, l+1) = p_l &= \frac{(w_l)^2}{12 d_l} d_{l+1} && \textit{si } l \geqslant 1.
\end{aligned}$$

2. *Conditionnellement à $(Y_n)_{n\geqslant 0} = (y_n)_{n\geqslant 0}$, la suite $(L_n)_{n\geqslant 0}$ des sous-arbres de ω attachés à gauche de chaque sommet de la colonne et la suite $(R_n)_{n\geqslant 0}$ des sous-arbres attachés à droite sont indépendantes et constituées d'arbres indépendants entre eux de lois respectives $\hat{\rho}^{(y_n)}$.*

Nous allons maintenant transporter la loi de l'arbre bien étiqueté infini uniforme sur les quadrangulations au moyen de la bijection de Schaeffer. Munissons $\Phi(\mathcal{C})$ de la distance d_Φ de telle sorte que Φ soit une isométrie entre $\mathcal{C}$ et $\Phi(\mathcal{C})$. On note $\mu_{\Phi,n}$ et μ_Φ les mesures images de μ_n et μ par Φ. La mesure μ_Φ est bien définie car μ est à support dans $\mathcal{C}$.

Comme Φ met en bijection $\mathbb{T}_n$ et $\mathbf{Q}_n$, $\mu_{\Phi,n} = \nu_n$ est la probabilité uniforme sur les quadrangulations à n faces. Une conséquence directe du théorème 2 est alors que, dans $(\Phi(\mathcal{C}), d_\Phi)$, $(\mu_{\Phi,n})_{N\in\mathbb{N}}$ converge faiblement vers μ_Φ, peut aussi être considérée comme une probabilité uniforme sur l'ensemble des quadrangulations infinies.

Remarque. La topologie associée à d_Φ n'est pas la même que celle donnée précédemment pour $\overline{\mathbf{Q}}$, il est donc naturel de se demander si les deux notions de quadrangulation infinie uniforme que nous avons données coïncident.

4 Égalité des deux quadrangulations infinies uniformes

Notre but est maintenant de montrer que les deux notions de quadrangulation infinie uniforme que nous avons définies sont les mêmes. La première question que l'on doit se poser concerne les liens entre

les deux définitions des quadrangulations infinies, à savoir $\Phi(\mathcal{C})$ qui est un sous-ensemble de l'ensemble des quadrangulations considérées comme cartes planaires régulières d'une part, et $\overline{\mathbf{Q}}$ le complété de $\mathbf{Q}$ d'autre part. Nous allons voir que $\Phi(\mathcal{C})$ s'identifie à un sous-ensemble de $\overline{\mathbf{Q}}$, ce qui permet de considérer μ_Φ comme une mesure sur $\overline{\mathbf{Q}}$, portée par $\Phi(\mathcal{C})$.

Plus précisément, soient $R > 0$ et $\omega \in \mathcal{C}$. On définit $B_R(\Phi(\omega))$ comme l'union des faces de $\Phi(\omega)$ contenant au moins un sommet à distance strictement plus petite que R de l'origine. Comme ω n'a qu'un nombre fini de sommets d'étiquette inférieure ou égale à $R+1$, il n'y a qu'un nombre fini de telles faces et $B_R(\Phi(\omega))$ est une carte finie. Cette carte est donc telle que $\mathbb{S}^2 \setminus B_R(\Phi(\omega))$ a un nombre fini de composantes connexes, et les frontières de ces composantes sont des cycles de $\Phi(\omega)$ de longueur finie.

Soit γ un tel cycle. Chaque arête constituant γ est commune à une face de $\Phi(\omega)$ ayant au moins un sommet à distance strictement plus petite que R de l'origine et à une autre face n'ayant que des sommets à distance au moins R de l'origine. Le fait que la quadrangulation soit bipartie nous assure alors que chaque arête de γ est une arête $(R, R+1)$. Ainsi en ajoutant à $B_R(\Phi(\omega))$ un sommet à l'intérieur de γ que l'on relie aux sommets de γ à distance $R+1$ de la racine, et cela pour chaque cycle γ frontière d'une composante connexe de $\mathcal{S}^2 \setminus B_R(\Phi(\omega))$, on obtient une quadrangulation finie. La suite des quadrangulations finies ainsi construites pour chaque $R > 0$ converge au sens de la topologie de Krikun vers $\Phi(\omega)$ quand R tend vers l'infini. Cela montre que pour tout $\omega \in \mathcal{C}$, $\Phi(\omega)$ s'identifie à un élément de $\overline{\mathbf{Q}}$.

Pour pouvoir considérer μ_Φ comme une mesure sur $\overline{\mathbf{Q}}$, il suffit maintenant de voir que $\Phi : \mathcal{C} \to \overline{\mathbf{Q}}$ est mesurable pour la tribu borélienne associée à $d_{\overline{\mathbf{Q}}}$. On a pour cela besoin du lemme suivant, prouvé dans la section 4.1 :

Lemme 1. *Soit $R > 0$ et $\omega_0 \in \mathcal{C}$. L'ensemble $A = \{\omega \in \mathcal{C} : B_{\overline{\mathbf{Q}},R}(\Phi(\omega)) = B_{\overline{\mathbf{Q}},R}(\Phi(\omega_0))\}$ est mesurable pour la tribu borélienne associée à $d_{\overline{\mathbb{T}}}$.*

Soit $q^\star \in \overline{\mathbf{Q}}$, alors d'après ce dernier lemme

$$\Phi^{-1}\left(\left\{q \in \overline{\mathbf{Q}} : d_{\overline{\mathbf{Q}}}(q, q^\star) \leqslant \frac{1}{R+1}\right\}\right) = \Phi^{-1}\left(\left\{q \in \overline{\mathbf{Q}} : B_{\overline{\mathbf{Q}},R}(q) = B_{\overline{\mathbf{Q}},R}(q^\star)\right\}\right)$$

est mesurable pour la tribu borélienne associée à $d_{\overline{\mathbb{T}}}$. Cela suffit pour obtenir que $\Phi : \mathcal{C} \to \overline{\mathbf{Q}}$ est mesurable.

Nous pouvons maintenant énoncer notre résultat principal.

Théorème 4. *La suite $(\mu_{\Phi,n})_{n\in\mathbb{N}}$ converge faiblement vers μ_Φ au sens de Krikun, i.e. dans $\left(\overline{\mathbf{Q}}, d_{\overline{\mathbf{Q}}}\right)$. En conséquence, μ_Φ, vue comme mesure de probabilité sur $\left(\overline{\mathbf{Q}}, d_{\overline{\mathbf{Q}}}\right)$, coïncide avec ν.*

La seconde assertion est une conséquence immédiate de la première puisque $\mu_{\Phi,n} = \nu_n$ et ν est définie comme la limite au sens de Krikun de la suite (ν_n).

Pour établir la première assertion, il suffira de montrer que pour tous $q^\star \in \overline{\mathbf{Q}}$ et $R > 0$ on a

$$\mu_{\Phi,n}\Big(q \in \overline{\mathbf{Q}} : B_{\overline{\mathbf{Q}},R}(q) = B_{\overline{\mathbf{Q}},R}(q^\star)\Big) \underset{n\to\infty}{\longrightarrow} \mu_\Phi\Big(q \in \overline{\mathbf{Q}} : B_{\overline{\mathbf{Q}},R}(q) = B_{\overline{\mathbf{Q}},R}(q^\star)\Big)$$

où on a identifié $\Phi(\mathcal{C})$ à un sous-ensemble de $\overline{\mathbf{Q}}$.

Le reste de ce travail est consacré à la preuve de cette convergence.

4.1 Une propriété de la correspondance de Schaeffer

Pour tous $S > 0$ et $R > 0$ on note

$$\Omega_S(R) = \{\omega \in \overline{\mathbb{T}} : \omega \text{ a un sommet d'étiquette} \leqslant R+1 \text{ strictement au dessus de la génération } S\}. \quad (5)$$

Dans les deux premiers résultats de cette partie, S et R sont deux entiers strictement positifs fixés.

Proposition 4. *Si ω est un arbre de $\mathcal{C}$ n'appartenant pas à $\Omega_S(R)$ (i.e. tel que tout sommet de génération strictement plus grande que S est d'étiquette au moins égale à $R+2$), alors $B_{\overline{\mathbf{Q}},R}(\Phi(\omega)) = B_{\overline{\mathbf{Q}},R}(\Phi(B_{\overline{\mathbb{T}},S}(\omega)))$.*

Démonstration. Nous allons reprendre la construction de $\Phi(\omega)$ étape par étape comme dans la section 2.3. On fixe un plongement de ω dans $\mathbb{S}^2$ comme carte planaire accepatable.

Pendant la première étape, on construit à partir de ω une nouvelle carte planaire acceptable $\mathcal{M}_0(\omega)$ en reliant un sommet v_0 d'étiquette 0 aux coins d'étiquette 1. Construisons de même $\mathcal{M}_0(B_{\overline{\mathbb{T}},S}(\omega))$. Les arêtes ajoutées sont uniquement déterminées par les coins d'étiquette 1, coins donnés par la structure de $B_{\overline{\mathbb{T}},S}(\omega)$ (en effet aucun sommet au dessus de la génération S n'est d'étiquette inférieure ou égale à 2). Les deux cartes dont nous disposons ont donc le même nombre p de faces, qui ont de plus les mêmes frontières constituées chacune par les deux arêtes joignant v_0 aux deux coins d'étiquette 1 ainsi que, dans le cas où ces coins d'étiquette 1 appartiennent à deux sommets distincts, les arêtes figurant sur l'unique chemin injectif joignant ces deux sommets d'étiquette 1 dans l'arbre. Notons $F_1(\omega), \ldots, F_p(\omega)$ et $F_1(B_{\overline{\mathbb{T}},S}(\omega)), \ldots, F_p(B_{\overline{\mathbb{T}},S}(\omega))$ ces faces, de manière à ce que pour tout i les frontières de $F_i(\omega)$ et $F_i(B_{\overline{\mathbb{T}},S}(\omega))$ soient identiques.

La deuxième étape consiste à construire pour chaque coin c une arête $(c, s(c))$ de manière indépendante dans chaque face afin d'obtenir deux cartes planaires régulières que nous noterons $\mathcal{M}_1(\omega)$ et $\mathcal{M}_1(B_{\overline{\mathbb{T}},S}(\omega))$. Considérons donc $F_i(\omega)$ une face de $\mathcal{M}_0(\omega)$ et $F_i(B_{\overline{\mathbb{T}},S}(\omega))$ la face de $\mathcal{M}_0(B_{\overline{\mathbb{T}},S}(\omega))$ correspondante. Les coins de ces faces sont numérotés $(c_{i,j})_{j\in J_i}$ pour $F_i(\omega)$ et $(c'_{i,j})_{j\in J'_i}$ pour $F_i(B_{\overline{\mathbb{T}},S}(\omega))$, la numérotation correspondant à l'ordre dans lequel on rencontre les coins en parcourant les faces dans le sens des aiguilles d'une montre si elles sont finies, et en parcourant la partie à gauche de la colonne dans le sens inverse des aiguilles d'une montre, la partie à droite de la colonne dans le sens des aiguilles d'une montre dans le cas de la face infinie.

Pour chaque $i \in \{1, \ldots, p\}$, soient $v_{i,1}, \ldots, v_{i,k_i}$ les sommets de génération S de $F_i(\omega)$ ayant au moins un descendant (ce sont aussi des sommets de génération S de $F_i(B_{\overline{\mathbb{T}},S}(\omega))$), ces sommets sont d'étiquette au moins égale à $R+1$. Pour tout $j \leqslant k_i$, soit $e_{i,j}$ le dernier coin d'étiquette $R+1$ avant $v_{i,j}$ dans $F_i(\omega)$. Ce coin est identique dans $F_i(\omega)$ et $F_i(B_{\overline{\mathbb{T}},S}(\omega))$. On construit donc dans $F_i(\omega)$ et $F_i(B_{\overline{\mathbb{T}},S}(\omega))$ la même arête $(e_{i,j}, s(e_{i,j}))$ reliant $e_{i,j}$ au premier coin d'étiquette R suivant $e_{i,j}$ (ce coin est aussi le premier coin d'étiquette R suivant tous les coins de $v_{i,j}$, voir la figure 4).

Dans $F_i(\omega)$ et dans $F_i(B_{\overline{\mathbb{T}},S}(\omega))$, on obtient ainsi, pour chaque $j \in \{1, \ldots, k_i\}$, le même cycle $\gamma_{i,j}$ constitué de l'arête $(e_{i,j}, s(e_{i,j}))$ et du chemin généalogique entre $e_{i,j}$ et $s(e_{i,j})$ (voir la figure 4). Si $j \neq j'$, ou bien les intérieurs des cycles $\gamma_{i,j}$ et $\gamma_{i,j'}$ sont disjoints, ou bien l'intérieur de $\gamma_{i,j}$ est contenu dans l'intérieur de $\gamma_{i,j'}$ ou vice-versa. Ici, l'intérieur (strict) d'un cycle est défini comme la composante connexe du complémentaire du cycle qui ne contient pas v_0.

Montrons maintenant que toute face f de $\Phi(\omega)$ qui rencontre l'intérieur d'un cycle $\gamma_{i,j}$ ne contient que des sommets d'étiquette au moins égale à R. Traitons d'abord le cas où il existe un sommet u de f qui appartient à l'intérieur de $\gamma_{i,j}$. Si l'étiquette de u est supérieure ou égale à $R+2$, le résultat est évident. Sinon l'étiquette de u est $R+1$ et, pour que la face f contienne un sommet d'étiquette $R-1$, il serait nécessaire que u soit relié par deux arêtes à des sommets d'étiquette R : le seul sommet d'étiquette R possible est $s(e_{i,j})$, et le dernier sommet de la face f devrait être à l'intérieur de la réunion des deux arêtes joignant u à $s(e_{i,j})$ (cf. figure 4), ce qui rend impossible le fait qu'il soit d'étiquette $R-1$. Le cas où f rencontre l'intérieur du cycle sans qu'aucun de ses sommets ne soit dans cet intérieur est traité par des arguments analogues.

La discussion précédente montre que les faces de $\Phi(\omega)$, respectivement de $\Phi\left(B_{\mathbb{T},S}(\omega)\right)$, qui rencontrent l'intérieur d'un cycle $\gamma_{i,j}$ ne sont pas prises en compte dans la définition de la boule $B_{\overline{\mathbf{Q}},R}\left(\Phi(\omega)\right)$, respectivement $B_{\overline{\mathbf{Q}},R}\left(\Phi\left(B_{\mathbb{T},S}(\omega)\right)\right)$.

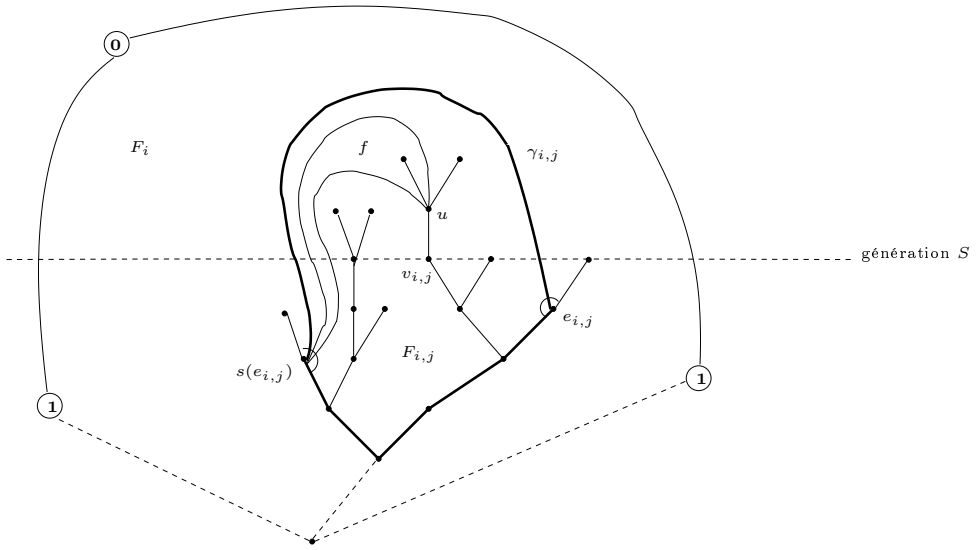

FIG. 4 – Une face F_i et un cycle $\gamma_{i,j}$ construit à partir d'un sommet $v_{i,j}$ de génération S.

Notons $\Phi_1(\omega)$ la carte palanire obtenue dans la deuxième étape de la construction de $\Phi(\omega)$ (cette carte est notée $\mathcal{M}_1$ dans la partie 2.3). Considérons alors la carte planaire $\widetilde{\Phi}_1(\omega)$ obtenue à partir de $\Phi_1(\omega)$ en supprimant les sommets se trouvant à l'intérieur d'un des cycles $\gamma_{i,j}$ ainsi que les arêtes tracées à l'intérieur d'un tel cycle dans la deuxième étape de la construction de la partie 2.3. On a

$$\widetilde{\Phi}_1(\omega) = \widetilde{\Phi}_1\left(B_{\overline{\mathbb{T}},S}(\omega)\right) \tag{6}$$

simplement parce que tous les sommets de ω au-dessus (strictement) de la génération S sont à l'intérieur d'un des cycles $\gamma_{i,j}$.

Finalement, notons $\Phi_2(\omega)$ la carte obtenue à partir de $\widetilde{\Phi}_1(\omega)$ en supprimant les arêtes de $\widetilde{\Phi}_1(\omega)$ joignant deux sommets de même étiquette inférieure ou égale à R. D'après les observations précédentes, toute face de $\Phi(\omega)$ prise en compte dans la boule $B_{\overline{\mathbf{Q}},R}(\Phi(\omega))$ est aussi une face quadrangulaire de $\Phi_2(\omega)$ et, inversement, toute face quadrangulaire de $\Phi_2(\omega)$ contenant un sommet d'étiquette strictement inférieure à R est une face de $\Phi(\omega)$ prise en compte dans la boule $B_{\overline{\mathbf{Q}},R}(\Phi(\omega))$. En d'autres mots, la boule $B_{\overline{\mathbf{Q}},R}(\Phi(\omega))$ est la réunion des faces quadrangulaires de $\Phi_2(\omega)$ dont au moins un sommet est d'étiquette strictement inférieure à R. D'après (6), on a

$$\widetilde{\Phi}_2(\omega) = \widetilde{\Phi}_2\left(B_{\overline{\mathbb{T}},S}(\omega)\right)$$

et on conclut que

$$B_{\overline{\mathbf{Q}},R}(\Phi(\omega)) = B_{\overline{\mathbf{Q}},R}\left(\Phi\left(B_{\overline{\mathbb{T}},S}(\omega)\right)\right).$$

□

Cette propriété permet de démontrer le résultat qui suit :

Corollaire 1. *Soit $\omega_0 \in \mathcal{C}$. Il existe une famille $(\omega_i^{S,R})_{i\in I}$, finie ou dénombrable, d'arbres de $\mathcal{C}\cap\Omega_S(R)^c$, vérifiant*

$$B_{\overline{\mathbf{Q}},R}(\Phi(\omega_i^{S,R})) = B_{\overline{\mathbf{Q}},R}(\Phi(\omega_0)),\ \forall i \in I$$

telle que, pour tout $\omega \in \mathcal{C} \cap \Omega_S(R)^c$, les deux conditions suivantes sont équivalentes :

1. $B_{\overline{\mathbf{Q}},R}(\Phi(\omega)) = B_{\overline{\mathbf{Q}},R}(\Phi(\omega_0))$;

2. $\exists i \in I$ *tel que* $B_{\overline{\mathbb{T}},S}(\omega) = B_{\overline{\mathbb{T}},S}(\omega_i^{S,R})$.

Démonstration. La famille $\left(\omega_i^{S,R}\right)_{i\in I}$ des arbres finis ayant au plus S générations et tels que pour tout i $B_{\overline{\mathbf{Q}},R}(\Phi(\omega_i^{S,R})) = B_{\overline{\mathbf{Q}},R}(\Phi(\omega_0))$ est une famille finie ou dénombrable et convient. En effet, si $\omega \in \mathcal{C} \cap \Omega_S(R)^c$ et s'il existe $i \in I$ tel que $B_{\overline{\mathbb{T}},S}(\omega) = B_{\overline{\mathbb{T}},S}(\omega_i^{S,R})$, alors la proposition 4 assure que $B_{\overline{\mathbf{Q}},R}(\Phi(\omega)) = B_{\overline{\mathbf{Q}},R}(\Phi(\omega_i^{S,R})) = B_{\overline{\mathbf{Q}},R}(\Phi(\omega_0))$. Inversement si $B_{\overline{\mathbf{Q}},R}(\Phi(\omega)) = B_{\overline{\mathbf{Q}},R}(\Phi(\omega_0))$ et $\omega \in \mathcal{C} \cap \Omega_S(R)^c$ alors $\omega' = B_{\overline{\mathbb{T}},S}(\omega)$ vérifie $B_{\overline{\mathbf{Q}},R}(\Phi(\omega)) = B_{\overline{\mathbf{Q}},R}(\Phi(\omega'))$ d'après la proposition 4, et donc ω' appartient à la famille $(\omega_i^{S,R})_{i\in I}$. □

Terminons cette section par la preuve du lemme 1.

Démonstration du lemme 1. Soit $R > 0$ fixé. Pour $S > 0$ l'ensemble $\Omega_S(R)$ est ouvert dans $\overline{\mathbb{T}}$. On a de plus :

$$\begin{aligned} A &= \bigcup_{S>0} \left(\left\{ \omega \in \mathcal{C} : B_{\overline{\mathbf{Q}},R}(\Phi(\omega)) = B_{\overline{\mathbf{Q}},R}(\Phi(\omega_0)) \right\} \cap \Omega_S(R)^c \right) \\ &= \bigcup_{S>0} \bigcup_{i\in I_{S,R}} \left(\left\{ \omega \in \mathcal{C} : B_{\overline{\mathbb{T}},S}(\omega) = B_{\overline{\mathbb{T}},S}(\omega_i^{S,R}) \right\} \cap \Omega_S(R)^c \right) \end{aligned}$$

où, pour tout S, $I_{S,R}$ est un ensemble dénombrable et $\left(\omega_i^{S,R}\right)_{i\in I_{S,R}}$ est la famille d'arbres donnée par le corollaire 1. On obtient ainsi que A est mesurable. □

4.2 Comportement asymptotique des étiquettes de la colonne de l'arbre infini uniforme

Rappellons que $(Y_k)_{k\geqslant 0}$, la suite des étiquettes des sommets de la colonne de l'arbre aléatoire infini uniforme, est une chaîne de Markov de matrice de transition Π introduite dans le théorème 3. Nous étudions dans cette partie le comportement asymptotique de cette chaîne de Markov.

Lemme 2. *La chaîne* $(Y_n)_{n\geqslant 0}$ *est transitoire. De plus, pour tout* $\varepsilon > 0$ *il existe* $\alpha > 0$ *tel que pour tout* k *assez grand on ait :*

$$\mathbb{P}\left[Y_j \geqslant \alpha k, \forall j \geqslant 0 \,|\, Y_0 = k\right] \geqslant 1 - \varepsilon.$$

Démonstration. On a le développement limité $\frac{q_k}{p_k} = 1 - \frac{8}{k} + O\left(\frac{1}{k^2}\right)$ ([7], lemme 5.5) et donc il existe une constante $C > 0$ telle que

$$\prod_{i=2}^{k} \frac{q_i}{p_i} \underset{k\to\infty}{\sim} Ck^{-8}.$$

Un argument standard pour les chaînes de naissance et de mort assure alors que la chaîne Y est transitoire et donne, pour tous $k > j \geqslant 1$,

$$\mathbb{P}_k\left[T_j = \infty\right] = \frac{\sum_{i=j}^{k-1} \frac{q_i}{p_i} \cdots \frac{q_{x+1}}{p_{x+1}}}{\sum_{i=j}^{\infty} \frac{q_i}{p_i} \cdots \frac{q_{x+1}}{p_{x+1}}}.$$

Où T_j est le temps d'atteinte de j. On a donc, pour $\alpha < 1$ et pour tout k assez grand :

$$\begin{aligned} \mathbb{P}_k\left[T_{[\alpha k]} = \infty\right] &= \frac{\frac{1}{k}\sum_{i=[\alpha k]}^{k-1} \frac{q_i}{p_i} \cdots \frac{q_{[\alpha k]+1}}{p_{[\alpha k]+1}}}{\frac{1}{k}\sum_{i=[\alpha k]}^{\infty} \frac{q_i}{p_i} \cdots \frac{q_{[\alpha k]+1}}{p_{[\alpha k]+1}}} \\ &\underset{k\to\infty}{\longrightarrow} \frac{\int_\alpha^1 \left(\frac{\alpha}{t}\right)^8 dt}{\int_\alpha^\infty \left(\frac{\alpha}{t}\right)^8 dt} = 1 - \alpha^7 \end{aligned}$$

ce qui donne le résultat voulu en prenant α assez petit. □

Proposition 5. *Soit Z un processus de Bessel de dimension 9 issu de 0. On a :*

$$\left(\frac{1}{\sqrt{n}}Y_{[nt]}\right)_{t\geqslant 0} \underset{n\to\infty}{\longrightarrow} \left(Z_{\frac{2}{3}t}\right)_{t\geqslant 0}$$

au sens de la convergence en loi dans l'espace $D(\mathbb{R}_+,\mathbb{R}_+)$.

Démonstration. La convergence voulue est une application directe d'un résultat plus général de Lamperti [12] que nous rappelons maintenant. Soit $(X_n)_{n\geqslant 0}$ une chaîne de Markov homogène sur $\mathbb{R}_+$ vérifiant :

1. pour tout $K>0$ on a de façon uniforme en $x\in\mathbb{R}_+$
$$\lim_{n\to\infty}\frac{1}{n}\sum_{i=0}^{n-1}\mathbb{P}\left(X_i\leqslant K\,|\,X_0=x\right)=0;$$
2. pour tout $k\in\mathbb{N}$ les moments suivants existent et sont bornés en tant que fonctions de la variable $x\in\mathbb{R}_+$
$$m_k(x)=\mathbb{E}\left[(X_{n+1}-X_n)^k|X_n=x\right];$$
3. il existe $\beta>0$ et $\alpha>-\beta/2$ tels que
$$\lim_{x\to\infty} m_2(x)=\beta,$$
$$\lim_{x\to\infty} x\,m_1(x)=\alpha.$$

Définissons le processus $(x_t^{(n)})_{t\in\mathbb{R}_+}$ par $x_t^{(n)}=n^{-1/2}X_i$ si $t=\frac{i}{n}$, $i=0,1,2,\ldots$, ses valeurs en $t\in\mathbb{R}_+$ quelconque étant déterminées par interpolation linéaire. Alors le théorème de Lamperti énonce que $(x_t^{(n)})_{t\in\mathbb{R}_+}$ converge en loi vers la diffusion $(x_t)_{t\in\mathbb{R}_+}$ de générateur

$$L=\frac{\alpha}{x}\frac{\mathrm{d}}{\mathrm{d}x}+\frac{\beta}{2}\frac{\mathrm{d}^2}{\mathrm{d}x^2}.$$

Dans notre cas la chaîne de Markov à considérer est $\widetilde{Y}$, de matrice de transition $\widetilde{\Pi}$ pour laquelle $\widetilde{\Pi}(x,y)=\Pi([x],[y])$ si $y=x+1,x-1$ ou x. La propriété 1. découle alors facilement du lemme 2. La propriété 2. est satisfaite trivialement. De plus $p_n=\frac{1}{3}+\frac{4}{3n}+O(n^{-2})$ et $q_n=\frac{1}{3}-\frac{4}{3n}+O(n^{-2})$ ([7], lemme 5.5) et donc :

$$\lim_{x\to\infty} m_2(x)=\frac{2}{3}$$
$$\lim_{x\to\infty} x\,m_1(x)=\frac{8}{3}.$$

d'où la propriété 3. avec $\alpha=8/3$ et $\beta=2/3$.

La chaîne Y changée d'échelle converge donc en loi vers la diffusion de générateur

$$L=\frac{2}{3}\left(\frac{4}{x}\frac{\mathrm{d}}{\mathrm{d}x}+\frac{1}{2}\frac{\mathrm{d}^2}{\mathrm{d}x^2}\right),$$

d'où le résultat voulu. □

4.3 Propriétés asymptotiques des petites étiquettes dans les arbres

Le corollaire 1 permet de ramener la preuve du théorème 4 à la convergence des μ_n-mesures de certaines boules dans l'espace des arbres vers la μ-mesure de ces mêmes boules, à ceci près qu'il faut contrôler l'erreur commise en écartant les arbres qui sont dans $\Omega_S(R)$. Les resultats qui suivent ont pour but de contrôler cette erreur. On fixe dans cette partie R et $\varepsilon > 0$, et on note $\Omega_S = \Omega_S(R)$.

Lemme 3. *Il existe un entier $S^\star > 0$ tel que $\mu(\Omega_S) < \varepsilon$ pour tout $S > S^\star$.*

Démonstration. Soit $\Omega = \bigcap_{S=1}^{\infty} \Omega_S$. Si $\omega \in \Omega$, ω a une infinité de sommets dont les étiquettes appartiennent à $\{1, \dots, R+1\}$, et donc il existe un entier $l \in \{1, \dots, R+1\}$ tel que $N_l(\omega) = \infty$. Comme μ est portée par $\mathcal{C}$ on a $\mu(\Omega) = 0$ et donc $\mu(\Omega_S) \to 0$ quand $S \to \infty$. □

L'ingredient essentiel de la preuve du théorème 4 est la proposition 6 qui donne une estimation analogue à celle du lemme 3 lorsque μ est remplacée par μ_n, *avec uniformité* en n. Pour établir cette estimation, nous devrons d'abord majorer la probabilité qu'à la génération S existe un sommet d'étiquette plus petite que S^α, où $\alpha < 1/2$ est fixé : c'est l'objet du lemme 5 ci-dessous. Nous commençons par un lemme préliminaire facile :

Lemme 4. *Soit $S > 0$. Il existe deux entiers positifs $N_1(S)$ et $K_\varepsilon(S)$ tels que pour tout $n > N_1(S)$:*

$$\mu_n\left(\omega : \left|B_{\overline{\mathbb{T}},S}(\omega)\right| > K_\varepsilon(S)\right) < \varepsilon.$$

Démonstration. C'est une conséquence directe de la convergence des mesures μ_n vers μ. En effet, comme $|B_{\overline{\mathbb{T}},S}(\omega)| < \infty$ pour tout arbre ω, on peut choisir $K_\varepsilon(S)$ assez grand tel que

$$\mu\left(\omega : \left|B_{\overline{\mathbb{T}},S}(\omega)\right| > K_\varepsilon(S)\right) < \varepsilon.$$

La convergence de μ_n vers μ donne alors l'existence de $N_1(S)$ tel que l'inégalité du lemme soit valable pour tout $n > N_1(S)$. □

Il existe un nombre fini d'arbres bien étiquetés de hauteur exactement S et ayant au plus $K_\varepsilon(S)$ arêtes. On note $M_\varepsilon(S)$ ce nombre.

Pour tout entier $S > 0$ et tout $\alpha \in \left[0, \frac{1}{2}\right[$ posons :

$$A_\alpha(S) = \left\{\omega \in \overline{\mathbb{T}} : \omega \text{ a un sommet à la génération } S \text{ d'étiquette } \leqslant S^\alpha\right\}.$$

Lemme 5. *Soit $\alpha < \frac{1}{2}$. Pour tout entier S assez grand, il existe $N_2(S)$ tel que pour tout $n > N_2(S)$ on a :*

$$\mu_n\left(A_\alpha(S)\right) < \varepsilon.$$

Démonstration. Remarquons dans un premier temps qu'il suffit de démontrer l'inégalité du lemme avec μ_n remplacée par μ. En effet l'ensemble $A_\alpha(S)$ est un fermé de $\overline{\mathbb{T}}$. Si l'on sait que $\mu\left(A_\alpha(S)\right) < \varepsilon$, la convergence des mesures μ_n vers μ assure alors que $\limsup_N \mu_n\left(A_\alpha(S)\right) \leqslant \mu\left(A_\alpha(S)\right) < \varepsilon$.

Rappelons les notations $\rho^{(l)}$ et $\widehat{\rho}^{(l)}$ introduites dans la partie 3.2. Pour $H > 0$ et $l > 0$ on a :

$$\widehat{\rho}^{(l)}\left(h(\omega) > H\right) = \frac{1}{w_l} \sum_{\substack{\omega \in \mathbb{T}^{(l)} \\ h(\omega) > H}} 12^{-|\omega|} \leqslant \frac{1}{w_l} \sum_{\substack{\omega \in \mathbf{T}^{(l)} \\ h(\omega) > H}} 12^{-|\omega|} = \frac{1}{w_l} \rho^{(l)}\left(h(\omega) > H\right).$$

Et donc

$$\widehat{\rho}^{(l)}\left(h(\omega) > H\right) \leqslant \frac{2}{w_l} \mathbb{P}_{GW(1/2)}\left[h(\omega) > H\right],$$

où $\mathbb{P}_{GW(1/2)}$ désigne la loi de l'arbre de Galton-Watson de loi de reproduction géométrique de paramètre 1/2. D'après le théorème 1 (page 19) de [5] :

$$\lim_{H\to\infty} H\,\mathbb{P}_{GW(1/2)}\Big[h(\omega) > H\Big] = 1.$$

En observant que $\frac{2}{w_l} \leqslant \frac{3}{2}$ pour tout $l > 0$, on voit qu'il existe $H_1 > 0$ tel que si $H > H_1$:

$$\widehat{\rho}^{(l)}\Big(h(\omega) > H\Big) \leqslant \frac{2}{H}.$$

Soit $\eta \in \left]0, \frac{1}{2}\right[$. Rappelons que $g_S(\omega)$ désigne l'ensemble des sommets de génération S de ω et que pour k entier, L_k et R_k sont les sous-arbres de ω attachés respectivement à gauche et à droite du site de génération k de la colonne de ω. Pour tout $S > (1-\eta)^{-1}H_1$ on a d'après la deuxième partie du théorème 3 et l'inégalité précédente :

$$\mu\left[g_S(\omega) \cap \bigcup_{1\leqslant k\leqslant [\eta S]-1} (L_k \cup R_k) \neq \emptyset\right] \leqslant 2\sum_{k=1}^{[\eta S]-1} \frac{2}{S-k} \leqslant 4\frac{\eta}{1-\eta} \leqslant 8\eta.$$

Donc :

$$\mu\left(A_\alpha(S)\right) \leqslant 8\eta + \mu\left(\exists s \in g_S(\omega) \cap \bigcup_{k=[\eta S]}^{S} (L_k \cup R_k) \,:\, \ell(s) \leqslant S^\alpha\right).$$

En appliquant la propriété de Markov de la chaîne Y à l'instant $[\eta S]$, puis en utilisant la proposition 5 et le lemme 2, on trouve $\delta > 0$ et S_1 tels que pour tout $S > S_1$ on ait :

$$\mu\Big(Y_k \geqslant [\delta\sqrt{S}],\, \forall k \geqslant [\eta S]\Big) \geqslant 1-\eta.$$

Il vient

$$\mu\left(A_\alpha(S)\right) \leqslant 9\eta + \mu\left(\left\{\exists s \in g_S(\omega) \cap \bigcup_{k=[\eta S]}^{S} (L_k \cup R_k) \,:\, \ell(s) \leqslant S^\alpha\right\} \cap \Big\{\forall k \geqslant [\eta S],\, Y_k \geqslant [\delta\sqrt{S}]\Big\}\right) \tag{7}$$

Fixons-nous une famille $(y_k)_{[\eta S]\leqslant k\leqslant S}$ telle que $y_k \geqslant [\delta\sqrt{S}]$ pour tout k. D'après le théorème 3,

$$\begin{aligned}
&\mu\left(\exists s \in g_S(\omega) \cap \bigcup_{k=[\eta S]}^{S} (L_k \cup R_k) \,:\, \ell(s) \leqslant S^\alpha \,\middle|\, Y_k = y_k,\, [\eta S] \leqslant k \leqslant S\right) \\
&\quad \leqslant 2\sum_{k=[\eta S]}^{S} \widehat{\rho}^{(y_k)}\Big(\exists s \in g_{S-k}(\omega) \,:\, \ell(s) \leqslant S^\alpha\Big) = 2\sum_{k=0}^{S-[\eta S]} \widehat{\rho}^{(y_{S-k})}\Big(\exists s \in g_k(\omega) \,:\, \ell(s) \leqslant S^\alpha\Big).
\end{aligned} \tag{8}$$

Si $0 \leqslant k \leqslant S - [\eta S]$, on a :

$$\begin{aligned}
\widehat{\rho}^{(y_{S-k})}\Big(\exists s \in g_k(\omega) \,:\, \ell(s) \leqslant S^\alpha\Big) &\leqslant \widehat{\rho}^{(y_{S-k})}\Big(\inf_{s\in\omega} \ell(s) \leqslant S^\alpha\Big) \\
&= \frac{1}{w_{y_{S-k}}} \sum_{\substack{\omega\in\mathbb{T}^{(y_{S-k})} \\ \inf_{s\in\omega}\ell(s)\leqslant S^\alpha}} 12^{-|\omega|} = \frac{1}{w_{y_{S-k}}} \sum_{\substack{\omega\in\mathbf{T}^{(y_{S-k})} \\ 0<\inf_{s\in\omega}\ell(s)\leqslant S^\alpha}} 12^{-|\omega|} \\
&= \frac{1}{w_{y_{S-k}}} \rho^{(y_{S-k})}\Big(0 < \inf_{s\in\omega} \ell(s) \leqslant S^\alpha\Big).
\end{aligned}$$

Or

$$\rho^{(y_{S-k})}\left(\inf_{s\in\omega}\ell(s)>0\right)=w_{y_{S-k}}$$

et

$$\begin{aligned}\rho^{(y_{S-k})}\left(\inf_{s\in\omega}\ell(s)>S^\alpha\right)\geqslant\rho^{(y_{S-k})}\left(\inf_{s\in\omega}\ell(s)>[S^\alpha]\right)&=\rho^{(y_{S-k}-[S^\alpha])}\left(\inf_{s\in\omega}\ell(s)>0\right)\\&=w_{y_{S-k}-[S^\alpha]}.\end{aligned}$$

On a donc

$$\widehat{\rho}^{(y_{S-k})}\left(\exists s\in g_k(\omega):\ \ell(s)\leqslant S^\alpha\right)\leqslant\frac{1}{w_{y_{S-k}}}\left(w_{y_{S-k}}-w_{y_{S-k}-[S^\alpha]}\right)=1-\frac{w_{y_{S-k}-[S^\alpha]}}{w_{y_{S-k}}}.$$

Comme $y_{S-k}\geqslant[\delta\sqrt{S}]$, un développement limité nous donne

$$1-\frac{w_{y_{S-k}-[S^\alpha]}}{w_{y_{S-k}}}=4S^\alpha y_{S-k}^{-3}+o\left(S^\alpha y_{S-k}^{-3}\right)\leqslant\frac{4}{\delta^3}S^{\alpha-\frac{3}{2}}+o\left(S^{\alpha-\frac{3}{2}}\right),$$

et donc le terme de gauche de (8) est majoré par $\frac{8}{\delta^3}S^{\alpha-1/2}+o\left(S^{\alpha-1/2}\right)$. En revenant à (7), on a

$$\mu\left(A_\alpha(S)\right)\leqslant 9\eta+\frac{9}{\delta^3}S^{\alpha-\frac{1}{2}}+o\left(S^{\alpha-\frac{1}{2}}\right).$$

Finalement, puisque $\alpha<\frac{1}{2}$, on trouve que $\mu(A_\alpha(S))<10\eta$ dès que S est assez grand, ce qui termine la preuve. □

Ce dernier lemme va nous permettre de démontrer la version uniforme en n du lemme 3 :

Proposition 6. *Pour tout entier S assez grand, il existe $N(S)$ tel que pour tout $n>N(S)$ on a :*

$$\mu_n(\Omega_S)<\varepsilon.$$

Démonstration. Dans toute la preuve on se fixe $\alpha\in\left]\frac{1}{3},\frac{1}{2}\right[$. Si $S>0$, le lemme 4 donne $K_\varepsilon(S)>0$ et $N_1(S)>0$ tels que si $n>N_1(S)$ on a $\mu_n\left(\omega:\ |B_{\overline{\mathbb{T}},S}(\omega)|>K_\varepsilon(S)\right)<\varepsilon$. Rappelons aussi que le nombre d'arbres bien étiquetés de hauteur S et de taille inférieure à $K_\varepsilon(S)$ est $M_\varepsilon(S)$. Le lemme 5 montre aussi que pour S assez grand, il existe $N_2(S)$ tel que pour tout $n>N_2(S)$ on a $\mu_n(A_\alpha(S))<\varepsilon$. On a donc pour tout S assez grand et pour tout $n>N_1(S)\vee N_2(S)$:

$$\begin{aligned}\mu_n(\Omega_S)=&\sum_{\substack{\omega^\star\notin A_\alpha(S)\\|\omega^\star|\leqslant K_\varepsilon(S),\,h(\omega^\star)=S}}\mu_n\left(\{\omega:\ B_{\overline{\mathbb{T}},S}(\omega)=\omega^\star\}\cap\Omega_S\right)\\&+\mu_n(A_\alpha(S))+\mu_n\left(\omega:\ |B_{\overline{\mathbb{T}},S}(\omega)|>K_\varepsilon(S)\right)\\\leqslant&\ 2\varepsilon+\sum_{\substack{\omega^\star\notin A_\alpha(S)\\|\omega^\star|\leqslant K_\varepsilon(S),\,h(\omega^\star)=S}}\mu_n\left(\{\omega:\ B_{\overline{\mathbb{T}},S}(\omega)=\omega^\star\}\cap\Omega_S\right).\end{aligned}\tag{9}$$

Fixons-nous un arbre $\omega^\star\notin A_\alpha(S)$, de taille inférieure à $K_\varepsilon(S)$, de hauteur S et dont les sommets de génération S, au nombre de k, sont d'étiquettes $l_1,\dots,l_k$. En décomposant suivant les sous-arbres de ω ayant pour racines les sommets de la génération S, de façon analogue à (1), on obtient l'inégalité :

$$\mu_n\left(\{\omega:\ B_{\overline{\mathbb{T}},S}(\omega)=\omega^\star\}\cap\Omega_S\right)\leqslant\frac{1}{D_n}\sum_{n_1+\dots+n_k=n-|\omega^\star|}\sum_{i=1}^{k}D_{n_i}^{(l_i)}(R)\prod_{j\neq i}D_{n_j}^{(l_j)}\tag{10}$$

où $D_n^{(l)}(R)$ est le nombre d'arbres de $\mathbb{T}_n^{(l)}$ ayant au moins un sommet d'étiquette R. Comme $\omega \notin A_\alpha(S)$, si S est assez grand, on a $l_i > S^\alpha > R$, et donc $D_{n_i}^{(l_i)}(R) = D_{n_i}^{(l_i)} - D_{n_i}^{(l_i-R)}$ pour tout $i = 1, \dots, k$, et (10) devient :

$$\begin{aligned}
&\mu_n\left(\{\omega :\ B_{\overline{\mathbb{T}},S}(\omega) = \omega^\star\} \cap \Omega_S\right) \\
&\quad \leqslant \frac{1}{D_n} \sum_{n_1+\cdots+n_k=n-|\omega^\star|} \sum_{i=1}^{k} (D_{n_i}^{(l_i)} - D_{n_i}^{(l_i-R)}) \prod_{j\neq i} D_{n_j}^{(l_j)} \\
&\quad = \frac{k}{D_n} \sum_{n_1+\cdots+n_k=n-|\omega^\star|} \prod_{j=1}^{k} D_{n_j}^{(l_j)} - \frac{1}{D_n} \sum_{i=1}^{k} \sum_{n_1+\cdots+n_k=n-|\omega^\star|} D_{n_i}^{(l_i-R)} \prod_{j\neq i} D_{n_j}^{(l_j)}.
\end{aligned}$$

La convergence $\mu_n\left(\omega : B_{\overline{\mathbb{T}},S}(\omega) = \omega^\star\right) \to \mu\left(\omega : B_{\overline{\mathbb{T}},S}(\omega) = \omega^\star\right)$ quand $n \to \infty$ (théorème 2) ainsi que les identités (1) et (2) permettent de trouver $N(\omega^\star, S)$ tel que pour tout $n > N(\omega^\star, S)$:

$$\frac{1}{D_n} \sum_{n_1+\cdots+n_k=n-|\omega^\star|} \prod_{j=1}^{k} D_{n_j}^{(l_j)} \leqslant 12^{-|\omega^\star|} \sum_{t=1}^{k} d_{l_t} \prod_{s\neq t} w_{l_s} + \frac{\varepsilon}{K_\varepsilon(S) M_\varepsilon(S)}$$

et, pour tout $i = 1, \dots, k$:

$$\begin{aligned}
&\frac{1}{D_n} \sum_{n_1+\cdots+n_k=n-|\omega^\star|} D_{n_i}^{(l_i-R)} \prod_{j\neq i} D_{n_j}^{(l_j)} \\
&\qquad \geqslant 12^{-|\omega^\star|}\Big(d_{l_i-R} \prod_{j\neq i} w_{l_j} + \sum_{t\neq i} d_{l_t} w_{l_i-R} \prod_{j\neq t,i} w_{l_j}\Big) - \frac{\varepsilon}{K_\varepsilon(S) M_\varepsilon(S)}.
\end{aligned}$$

On a donc pour tout $n > N(\omega^\star, S)$:

$$\begin{aligned}
&\mu_n\left(\{\omega :\ B_{\overline{\mathbb{T}},S}(\omega) = \omega^\star\} \cap \Omega_S\right) \\
&\quad \leqslant \frac{2\varepsilon}{M_\varepsilon(S)} + k 12^{-|\omega^\star|} \sum_{t=1}^{k} d_{l_t} \prod_{s\neq t} w_{l_s} - 12^{-|\omega^\star|} \sum_{i=1}^{k} \Big(d_{l_i-R} \prod_{j\neq i} w_{l_j} + \sum_{t\neq i} d_{l_t} w_{l_i-R} \prod_{j\neq t,i} w_{l_j}\Big) \\
&\quad \leqslant \frac{2\varepsilon}{M_\varepsilon(S)} + 12^{-|\omega^\star|} \sum_{t=1}^{k} (d_{l_t} - d_{l_t-R}) \prod_{s\neq t} w_{l_s} + 12^{-|\omega^\star|} \sum_{t=1}^{k} d_{l_t} \left(\sum_{i\neq t} (w_{l_i} - w_{l_i-R}) \prod_{s\neq t,i} w_{l_s}\right). \qquad (11)
\end{aligned}$$

Notons :

$$\begin{aligned}
d(\omega^\star) &= \max_{i=1\dots k} \left(1 - \frac{d_{l_i-R}}{d_{l_i}}\right), \\
w(\omega^\star) &= \max_{i=1\dots k} \left(1 - \frac{w_{l_i-R}}{w_{l_i}}\right).
\end{aligned}$$

L'inégalité (11) devient, pour tout $n > N(\omega^\star, S)$:

$$\begin{aligned}
&\mu_n\left(\{\omega :\ B_{\overline{\mathbb{T}},S}(\omega) = \omega^\star\} \cap \Omega_S\right) \\
&\quad \leqslant \frac{2\varepsilon}{M_\varepsilon(S)} + d(\omega^\star)\, 12^{-|\omega^\star|} \sum_{t=1}^{k} d_{l_t} \prod_{s\neq t} w_{l_s} + k w(\omega^\star)\, 12^{-|\omega^\star|} \sum_{t=1}^{k} d_{l_t} \prod_{s\neq t} w_{l_s} \\
&\quad = \frac{2\varepsilon}{M_\varepsilon(S)} + (d(\omega^\star) + k.w(\omega^\star))\, \mu\left(\omega : B_{\overline{\mathbb{T}},s}(\omega) = \omega^\star\right) \qquad (12)
\end{aligned}$$

en utilisant (2) pour la dernière inégalité.

Posons maintenant $N^\star(S) = \max_{|\omega^\star|\leqslant K_\varepsilon(S)} N(\omega^\star, S) \vee N_1(S) \vee N(S)$. Si S est assez grand, pour $n > N^\star(S)$ on a en utilisant (9) et (12) :

$$\mu_n(\Omega_S) \leqslant 4\varepsilon + \sum_{\substack{\omega^\star \notin A_\alpha(S) \\ |\omega^\star|\leqslant K_\varepsilon(S),\, h(\omega^\star)=S}} (d(\omega^\star) + |g_S(\omega^\star)|.w(\omega^\star))\, \mu\left(\omega : B_{\overline{\mathbb{T}},S}(\omega) = \omega^\star\right).$$

Un développement limité donne, pour $\omega^\star \notin A_\alpha(S)$, $w(\omega^\star) \leqslant 4(5R-3)S^{-3\alpha} + o\left(S^{-3\alpha}\right)$. De plus, $\sup_{\omega^\star \notin A_\alpha(S)} d(\omega^\star) \to 0$ quand $S \to \infty$. Tout cela permet de trouver $S^\star$ tel que si $S > S^\star$ et $n > N^\star(S)$:

$$\begin{aligned}
\mu_n(\Omega_S) &\leqslant 4\varepsilon + \sum_{\substack{\omega^\star \notin A_\alpha(S) \\ |\omega^\star|\leqslant K(S),\, h(\omega^\star)=S}} \left(\varepsilon + |g_S(\omega^\star)|.20RS^{-3\alpha}\right) \mu\left(\omega : B_{\overline{\mathbb{T}},S}(\omega) = \omega^\star\right) \\
&\leqslant 5\varepsilon + 20RS^{-3\alpha} \sum_{\substack{\omega^\star \notin A_\alpha(S) \\ |\omega^\star|\leqslant K(S),\, h(\omega^\star)=S}} |g_S(\omega^\star)|\, \mu\left(\omega : B_{\overline{\mathbb{T}},S}(\omega) = \omega^\star\right) \\
&\leqslant 5\varepsilon + 20RS^{-3\alpha}\mathbb{E}_\mu\left[|g_S(\omega)|\right]. \qquad (13)
\end{aligned}$$

La description de μ donnée dans le théorème 3 permet d'estimer $\mathbb{E}_\mu\left[|g_S(\omega)|\right]$. En effet, si $H > 0$, on a pour tout entier $k \geqslant 1$

$$\mathbb{E}_{\widehat{\rho}^{(k)}}\left[|g_H(\omega)|\right] \leqslant \frac{1}{w_k}\mathbb{E}_{\rho^{(k)}}\left[|g_H(\omega)|\right] = \frac{2}{w_k}\mathbb{E}_{GW(1/2)}\left[|g_H(\omega)|\right] = \frac{2}{w_k} \leqslant 2.$$

Donc :

$$\mathbb{E}_\mu\left[|g_S(\omega)|\right] \leqslant 4S + 1.$$

En utilisant (13), et en rappelant que $\alpha > \frac{1}{3}$, on voit que pour tout S assez grand et pour $n > N^\star(S)$ on a

$$\mu_n(\omega_S) \leqslant 6\varepsilon.$$

Quitte à remplacer ε par $\varepsilon/6$ dans la preuve ci-dessus, cela donne la majoration annoncée. □

4.4 Preuve du résultat principal

Dans toute la preuve, $q^\star \in \overline{\mathbf{Q}}$ et $R > 0$ sont fixés et $\Omega_S = \Omega_S(R)$ comme ci-dessus. Le théorème 4 est équivalent à la convergence suivante :

$$\mu_n\Big(\omega : B_{\overline{\mathbf{Q}},R}(\Phi(\omega)) = B_{\overline{\mathbf{Q}},R}(q^\star)\Big) \underset{n\to\infty}{\longrightarrow} \mu\Big(\omega : B_{\overline{\mathbf{Q}},R}(\Phi(\omega)) = B_{\overline{\mathbf{Q}},R}(q^\star)\Big). \qquad (14)$$

Il faut dans un premier temps reformuler le problème en termes d'arbres. Comme $q^\star \in \overline{\mathbf{Q}}$, il existe une quadrangulation finie $q_0 \in \mathbf{Q}$ telle que $d_{\overline{\mathbf{Q}}}(q_0, q^\star) < \frac{1}{R+1}$, donc $B_{\overline{\mathbf{Q}},R}(q_0) = B_{\overline{\mathbf{Q}},R}(q^\star)$. De plus q_0 étant une quadrangulation finie, il existe $\omega_0 \in \mathbb{T}$ tel que $\Phi(\omega_0) = q_0$, et donc $B_{\overline{\mathbf{Q}},R}(\Phi(\omega_0)) = B_{\overline{\mathbf{Q}},R}(q^\star)$. (14) devient alors :

$$\mu_n\Big(\omega : B_{\overline{\mathbf{Q}},R}(\Phi(\omega)) = B_{\overline{\mathbf{Q}},R}(\Phi(\omega_0))\Big) \underset{n\to\infty}{\longrightarrow} \mu\Big(\omega : B_{\overline{\mathbf{Q}},R}(\Phi(\omega)) = B_{\overline{\mathbf{Q}},R}(\Phi(\omega_0))\Big). \qquad (15)$$

On fixe $\varepsilon > 0$ dans toute la suite.

Le problème est maintenant de caractériser les arbres ω pour lesquels la quadrangulation associée a une boule de rayon R qui coïncide avec celle de $\Phi(\omega_0)$. La difficulté vient du fait que deux arbres

proches dans $\overline{\mathbb{T}}$ peuvent donner des quadrangulations très différentes s'ils ont des sommets de petite étiquette dans des générations élevées. Ce problème se résoud à l'aide de la proposition 6.

Observons que ω_0 est un arbre fini. Si S_0 désigne sa hauteur, ω_0 n'a évidemment pas d'étiquette inférieure ou égale à $R+1$ strictement au dessus de la génération S_0. Grâce au lemme 3 et à la proposition 6, on peut choisir $S_1 > S_0$ tel que pour tout $S \geqslant S_1$ on a $\mu(\Omega_S) < \varepsilon$ et $\mu_n(\Omega_S) < \varepsilon$ pour tout $n \geqslant N(S)$.

Soit $S > S_1$ et $(\omega_i)_{i\in I}$ la famille du corollaire 1, telle que pour tout $\omega \in \mathcal{C} \cap \Omega_S^c$ l'égalité $B_{\overline{\mathbf{Q}},R}(\Phi(\omega)) = B_{\overline{\mathbf{Q}},R}(\Phi(\omega_0))$ a lieu si et seulement si il existe $i \in I$ tel que $B_{\overline{\mathbb{T}},S}(\omega) = B_{\overline{\mathbb{T}},S}(\omega_i)$. En notant $A \vartriangle B$ la différence symétrique des ensembles A et B on a

$$\begin{aligned}
&\mu\left(\left\{\omega \in \overline{\mathbb{T}} :\ B_{\overline{\mathbf{Q}},R}(\Phi(\omega)) = B_{\overline{\mathbf{Q}},R}(\Phi(\omega_0))\right\} \vartriangle \bigcup_{i\in I}\left\{\omega \in \overline{\mathbb{T}} :\ B_{\overline{\mathbb{T}},S}(\omega) = B_{\overline{\mathbb{T}},S}(\omega_i)\right\}\right) \\
&\quad \leqslant \mu\left(\Omega_S\right) < \varepsilon.
\end{aligned}$$

Il en découle que :

$$\begin{aligned}
&\left|\mu_n\Big(\omega :\ B_{\overline{\mathbf{Q}},R}(\Phi(\omega)) = B_{\overline{\mathbf{Q}},R}(\Phi(\omega_0))\Big) - \mu\Big(\omega :\ B_{\overline{\mathbf{Q}},R}(\Phi(\omega)) = B_{\overline{\mathbf{Q}},R}(\Phi(\omega_0))\Big)\right| \\
&\leqslant \left|\mu\Big(\bigcup_{i\in I}\Big\{\omega :\ B_{\overline{\mathbb{T}},S}(\omega) = B_{\overline{\mathbb{T}},S}(\omega_i)\Big\}\Big) - \mu_n\Big(\omega :\ B_{\overline{\mathbf{Q}},R}(\Phi(\omega)) = B_{\overline{\mathbf{Q}},R}(\Phi(\omega_0))\Big)\right| \\
&\qquad + \left|\mu\Big(\bigcup_{i\in I}\Big\{\omega :\ B_{\overline{\mathbb{T}},S}(\omega) = B_{\overline{\mathbb{T}},S}(\omega_i)\Big\}\Big) - \mu\Big(\omega :\ B_{\overline{\mathbf{Q}},R}(\Phi(\omega)) = B_{\overline{\mathbf{Q}},R}(\Phi(\omega_0))\Big)\right| \\
&\leqslant \left|\mu\Big(\bigcup_{i\in I}\Big\{\omega :\ B_{\overline{\mathbb{T}},S}(\omega) = B_{\overline{\mathbb{T}},S}(\omega_i)\Big\}\Big) - \mu_n\Big(\omega :\ B_{\overline{\mathbf{Q}},R}(\Phi(\omega)) = B_{\overline{\mathbf{Q}},R}(\Phi(\omega_0))\Big)\right| + \varepsilon.
\end{aligned}$$

De plus $\bigcup_{i\in I}\left\{\omega \in \overline{\mathbb{T}} :\ B_{\overline{\mathbb{T}},S}(\omega) = B_{\overline{\mathbb{T}},S}(\omega_i)\right\}$ est ouvert et fermé dans $\overline{\mathbb{T}}$. Donc,

$$\mu_n\left(\bigcup_{i\in I}\left\{\omega :\ B_{\overline{\mathbb{T}},S}(\omega) = B_{\overline{\mathbb{T}},S}(\omega_i)\right\}\right) \underset{n\to\infty}{\longrightarrow} \mu\left(\bigcup_{i\in I}\left\{\omega :\ B_{\overline{\mathbb{T}},S}(\omega) = B_{\overline{\mathbb{T}},S}(\omega_i)\right\}\right).$$

On obtient ainsi que pour $S > S_1$ il existe $N(S) > 0$ tel que pour tout $n > N(S)$:

$$\begin{aligned}
&\left|\mu_n\Big(\omega :\ B_{\overline{\mathbf{Q}},R}(\Phi(\omega)) = B_{\overline{\mathbf{Q}},R}(\Phi(\omega_0))\Big) - \mu\Big(\omega :\ B_{\overline{\mathbf{Q}},R}(\Phi(\omega)) = B_{\overline{\mathbf{Q}},R}(\Phi(\omega_0))\Big)\right| \\
&\leqslant \left|\mu_n\Big(\bigcup_{i\in I}\Big\{\omega :\ B_{\overline{\mathbb{T}},S}(\omega) = B_{\overline{\mathbb{T}},S}(\omega_i)\Big\}\Big) - \mu_n\Big(\omega :\ B_{\overline{\mathbf{Q}},R}(\Phi(\omega)) = B_{\overline{\mathbf{Q}},R}(\Phi(\omega_0))\Big)\right| + 2\varepsilon \\
&= \left|\mu_n\Big(\bigcup_{i\in I}\Big\{\omega :\ B_{\overline{\mathbb{T}},S}(\omega) = B_{\overline{\mathbb{T}},S}(\omega_i)\Big\} \cap \Omega_S\Big) - \mu_n\Big(\Big\{\omega :\ B_{\overline{\mathbf{Q}},R}(\Phi(\omega)) = B_{\overline{\mathbf{Q}},R}(\Phi(\omega_0))\Big\} \cap \Omega_S\Big)\right| \\
&\qquad + 2\varepsilon.
\end{aligned}$$

d'après le choix de la famille $(\omega_i)_{i\in I}$.

Par ailleurs on a aussi $\mu_n(\Omega_S) < \varepsilon$ pour $n > N(S)$ et donc pour tout $n > N(S) \vee N_1(S)$,

$$\left|\mu_n\Big(\omega :\ B_{\overline{\mathbf{Q}},R}(\Phi(\omega)) = B_{\overline{\mathbf{Q}},R}(\Phi(\omega_0))\Big) - \mu\Big(\omega :\ B_{\overline{\mathbf{Q}},R}(\Phi(\omega)) = B_{\overline{\mathbf{Q}},R}(\Phi(\omega_0))\Big)\right| \leqslant 3\varepsilon$$

ce qui termine la preuve du théorème 4. □

Remerciements. L'auteur souhaite remercier Jean-François Le Gall pour de nombreuses conversations sur le présent travail.

Références

[1] J. Ambjørn, B. Durhuus, and T. Jonsson. *Quantum geometry. A statistical field theory approach.* Cambridge Monographs on Mathematical Physics. Cambridge University Press, 1997.

[2] O. Angel. Growth and percolation on the uniform infinite planar triangulation. *Geom. Funct. Anal.*, 13(5) :935–974, 2003.

[3] O. Angel. Scaling of percolation on infinite planar maps, i. *preprint*, page `http://arxiv.org/abs/math/0501006`, 2005.

[4] O. Angel and O. Schramm. Uniform infinite planar triangulations. *Comm. Math. Phys.*, 241(2-3) :191–213, 2003.

[5] K. B. Athreya and P. E. Ney. *Branching processes.* Springer-Verlag, New York, 1972. Die Grundlehren der mathematischen Wissenschaften, Band 196.

[6] J. Bouttier, P. Di Francesco, and E. Guitter. Planar maps as labeled mobiles. *Electron. J. Combin.*, 11(1) :Research Paper 69, 27 pp. (electronic), 2004.

[7] P. Chassaing and B. Durhuus. Local limit of labeled trees and expected volume growth in a random quadrangulation. *Ann. Probab.*, 34(3) :879–917, 2006.

[8] P. Chassaing and G. Schaeffer. Random planar lattices and integrated super-Brownian excursion. *Probab. Theory Related Fields*, 128(2) :161–212, 2004.

[9] R. Cori and B. Vauquelin. Planar maps are well labeled trees. *Canad. J. Math.*, 33(5) :1023–1042, 1981.

[10] M. Krikun. A uniformly distributed infinite planar triangulation and a related branching process. *Zap. Nauchn. Sem. S.-Peterburg. Otdel. Mat. Inst. Steklov. (POMI)*, 307(Teor. Predst. Din. Sist. Komb. i Algoritm. Metody. 10) :141–174, 282–283, 2004.

[11] M. Krikun. Local structure of random quadrangulations. *Preprint*, `http://arxiv.org/abs/math/0512304`, 2006.

[12] J. Lamperti. A new class of probability limit theorems. *J. Math. Mech.*, 11 :749–772, 1962.

[13] J.-F. Le Gall. The topological structure of scaling limits of large planar maps. *Invent. Math.*, 169(3) :621–670, 2007.

[14] J.-F. Le Gall and F. Paulin. Scaling limits of bipartite planar maps are homeomorphic to the 2-sphere. *Geom. Funct. Anal.*, à paraître.

[15] J.-F. Marckert and G. Miermont. Invariance principles for random bipartite planar maps. *Ann. Probab.*, 35(5) :1642–1705, 2007.

[16] J.-F. Marckert and A. Mokkadem. Limit of normalized quadrangulations : the Brownian map. *Ann. Probab.*, 34(6) :2144–2202, 2006.

[17] J. Neveu. Arbres et processus de Galton-Watson. *Ann. Inst. H. Poincaré Probab. Statist.*, 22(2) :199–207, 1986.

[18] G. Schaeffer. *Conjugaisons d'arbres et cartes combinatoires aléatoires.* PhD thesis, Université de Bordeaux I, 1998.

[19] W. T. Tutte. A census of planar maps. *Canad. J. Math.*, 15 :249–271, 1963.